Сентябрь, № 3 Технические науки 2008

УДК 624.042.8:534.1

АНАТОЛИЙ ВАСИЛЬЕВИЧ КОЙБИН

кандидат технических наук, доцент кафедры механики строительного факультета ПетрГУ kabs@karelia.ru

ПРОДОЛЬНЫЕ ВИБРАЦИИ В ДВУХСЛОЙНОМ СТЕРЖНЕ ПРИ НАЛИЧИИ МЕЖДУ СЛОЯМИ СУХОГО ТРЕНИЯ

В статье рассматривается задача о вынужденных продольных колебаниях в составном стержне под воздействием гармонических возмущений и взаимодействия между слоями сухим трением.

Ключевые слова: продольные вибрации, стержень, трение

Стержень состоит из двух однородных слоев, прижатых друг к другу равномерно распределенным постоянным давлением.

1. Исследуем распространение продольных вибраций в каждом из слоев составного стержня конечной длины при воздействии гармонических возмущений частоты ω . Для контактных поверхностей полагаем справедливым закон Кулона, а для материала стержня — закон Гука [4]. Поставленная задача решается с использованием приближенных методов гармонической линеаризации и разложений по малому параметру. Уравнения динамики слоев имеют вид:

$$\rho Q_j \ddot{u}_j - E Q_j u_j'' = (-1)^j q sign(\dot{u}_1 - \dot{u}_2). \quad j = 1,2 \quad (1.1)$$

Здесь ρ – плотность материала, Q_1 и Q_2 – площади сечений слоев, $u_1(x,t)$ и $u_2(x,t)$ – смещения слоев стержня, q – сила трения, отнесенная к единице длины контакта стержня, E – модуль упругости. Штрихом и точкой обозначены частные производные по координате x и времени t. Полагаем, что относительные вибрации $\eta(x,t)=u_1(x,t)-u_2(x,t)$ распространяются на всю длину составного стержня. Условия, обес-

печивающие это допущение, определим ниже. Рассматривая стационарные колебания, решение для относительных смещений будем искать в виде

$$\eta(x,t) = a(x)\cos(\omega t + \varphi(x)). \tag{1.2}$$

Предварительно, следуя методу гармонической линеаризации, нелинейную функцию в системе (1.1) заменим линейной

$$F(\dot{\eta}) = sign\,\dot{\eta}(x,t) = r\omega^{-1}\dot{\eta}(x,t). \tag{1.3}$$

Здесь коэффициент линеаризации r вычислен по формуле [3] и имеет вид

$$r = \frac{1}{\pi a} \int_{0}^{2\pi} F(-a\omega \sin \varphi) \sin \varphi d\varphi = \frac{4}{\pi a}.$$
 (1.4)

Заменяя нелинейные функции в системе (1.1), получим

$$\ddot{u}_j - c^2 u_j'' = (-1)^j q_j \dot{\eta} / a\omega \quad q_j = 4q / \rho Q_j \pi, \quad (1.5)$$

80 A. B. Койбин

$$\ddot{\eta} - c^2 \eta'' = -(q_1 + q_2) \dot{\eta} / a\omega$$
 $c^2 = E/\rho$, (1.6)

Решение системы (1.5–1.6) будем искать в комплексной форме, что стало возможно после линеаризации задачи: физический смысл имеет вещественная часть решения. Для общности и удобства вычислений предварительно перейдем к безразмерным величинам. Введем обозначения

$$|Z| = R$$
, $\alpha = \omega/c$, $y = \alpha x$,
 $K_j = q_j/\omega^2$, $K = (q_1 + q_2)/\omega^2$. (1.7)

Решения системы (1.5–1.6) будем искать в виде

$$\eta = KZ \exp(i\omega t), \ u_2 = K_2 D \exp(i\omega t),$$

$$u_1 = \eta + u_2, |KZ| = a.$$
(1.8)

После подстановки искомых решений в систему и принятых обозначений получим для комплексных амплитуд Z и D:

$$Z'' + Z = iZ/|Z|, \quad D'' + D = -iZ/|Z|$$
 (1.9)

(Штрихом в уравнениях обозначены производные по координате у.)

Решение первого уравнения системы (1.9) для комплексной амплитуды Z относительных смещений будем строить методом вариации произвольных постоянных. За порождающее решение примем решение уравнения без правой части

$$Z = A_1 \exp(i\xi_1) + A_2 \exp(-i\xi_2), \ \xi_j = y + \varphi_j, \ (1.10)$$

где $A_1, A_2, \varphi_1, \varphi_2$ — постоянные интегрирования. Полагая постоянные функциями координаты y и накладывая дополнительные условия на производные (1.11):

$$A_{1}' \exp(i\xi_{1}) + A_{2}' \exp(-i\xi_{2}) + A_{1}i\varphi_{1}' \exp(i\xi_{1}) - A_{2}i\varphi_{2}' \exp(-i\xi_{2}) = 0.$$

$$(1.11)$$

Подставим искомое решение (1.10) в первое уравнение (1.9) и с учетом (1.11) получим систему уравнений для отыскания функций:

$$A'_{j} = (-1)^{j+1} \frac{1}{2} \frac{\partial R}{\partial A_{j}}, \quad \varphi'_{j} = (-1)^{j+1} \frac{1}{2A_{j}^{2}} \frac{\partial R}{\partial \xi_{j}}$$

$$R = (A_{1}^{2} + A_{2}^{2} + 2A_{1}A_{2}\cos\xi)^{1/2},$$

$$\xi = \xi_{1} + \xi_{2}, \quad R = |Z|.$$
(1.12)

Найти непосредственно решение системы (1.12) в замкнутом виде не удается. Для разрешения системы воспользуемся методом усреднения. В работах Миронова и Пальмова показано, что при слабом демпфировании в рассматриваемом случае можно считать колебания медленно меняющимися как по координате, так и по времени [2], [3]. Поэтому

целесообразно в системе провести усреднение по быстрой переменной ξ , при этом предполагается медленное изменение переменных A_1 , A_2 , φ_1 и φ_2 . Для проведения усреднения в системе (1.12) возьмем среднеквадратическое значение функции R.

$$\langle R \rangle = \left(\frac{1}{2\pi} \int_{0}^{2\pi} R^2 d\xi\right)^{1/2} = \sqrt{A_1^2 + A_2^2}.$$
 (1.13)

После подстановки $\langle R \rangle$ в (1.12) усредненная система примет вид

$$A'_{i} = (-1)^{j+1}A_{i}/2\langle R \rangle, \ \varphi'_{1} = 0, \ \varphi'_{2} = 0.$$
 (1.14)

Данная система имеет интегралы

$$\varphi_1 = c_3, \ \varphi_2 = c_4, \ A_1 A_2 = c_2,
(A_1')^2 + (A_2')^2 = 1/4.$$
(1.15)

Однако получить в явном виде зависимость A_1 и A_2 от y в элементарных функциях не удается. Как следует из интегралов (1.15), зависимость между A_1 и A_2 определяется равнобочной гиперболой и при приложении возмущения реализуется одна из ветвей гиперболы. При этом отношение

$$\varepsilon = A_1 / A_2 = c_2 / A_2^2 \tag{1.16}$$

будет изменяться от единицы при x=l, где $A_1=A_2$, $\xi_1+\xi_2=0$, и резко уменьшаться при изменении величин A_1 и A_2 , то есть $1 \ge \varepsilon > 0$. В этом можно убедиться после вычисления постоянных интегрирования, которые будут определены далее. Если уравнения системы (1.14) разложить по параметру ε , учитывая величины не выше ε , придем к системе

$$A_1' = A_1/2A_2$$
, $A_2' = -1/2$, $\varphi_1' = 0$, $\varphi_2' = 0$. (1.17)

Введенный параметр ε делает систему (1.17) близкой к системе (1.14). Действительно, при ε =1 система (1.17) перейдет в систему (1.14), а при малых значениях ε – вследствие ее малой величины. Система (1.17) имеет решение

$$A_2 = c_1 - y/2, \ A_1 = c_2/(c_1 - y/2),$$

 $\varphi_1 = c_3, \ \varphi_2 = c_4.$ (1.18)

При этом для амплитуды относительного смещения R = Z с учетом отношения (1.16) можно записать:

$$R = c_1 - y/2 + c_2/(c_1 - y/2)\cos(2y + c_3 + c_4)$$
. (1.19)

Для определения выражений для смещения слоев стержня u_1 и u_2 обратимся к системе (1.9). Если ввести переменные V=Z+D и D=V-Z, то получим дифференциальное уравнение для V:

$$V'' + V = 0. (1.20)$$

Уравнение имеет решение

$$V = c_7 \exp(\xi_3) + c_8 \exp(-\xi_4), \tag{1.21}$$

$$\xi_3 = y + c_5$$
, $\xi_4 = y + c_6$.

Тогда для функций u_1 и u_2 можно записать решение в комплексной форме

$$u_1 = (KZ + K_2D)\exp(i\omega t),$$

$$u_2 = K_2(V - Z)\exp(i\omega t).$$
(1.22)

Входящие в эти перемещения функции определены выше. Они содержат постоянные интегрирования с_j, которые должны быть определены из граничных условий. Граничные условия для такого составного стержня могут быть весьма разнообразны. Рассмотрим составной стержень длины *l*. При этом предполагаем, что относительные вибрации между слоями будут распространяться на всю длину стержня. Зададим кинематические граничные условия в комплексной форме

$$u_1(0,t) = H_1 \exp(i\omega t),$$

 $u_2(0,t) = H_2 \exp(i\omega t),$ (x=0) (1.23)
 $u_1(l,t) = 0, u_2(l,t) = 0.$ (x=l)

Из этих граничных условий определяются постоянные интегрирования.

$$c_{3}+c_{4}=-2L, c_{5}+c_{6}=-2L,$$

$$c_{2}=-(c_{1}-L/2)^{2}, c_{7}=-c_{8}, c_{7}=\lambda/2\sin L,$$

$$\lambda = (H_{2}Q_{2}+H_{1}Q_{1})\omega^{2}\pi\rho Q_{2}/4(Q_{1}+Q_{2})q,$$

$$tgc_{3}=c_{1}^{2}\sin 2L/s,$$

$$s=(c_{1}-L/2)^{2}-c_{1}^{2}\cos 2L, tgc_{5}=ctgL,$$

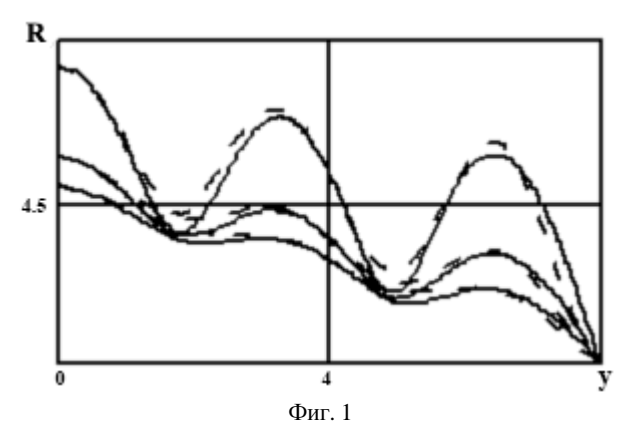
$$L=\alpha l, H=(H_{1}-H_{2})/K,$$

$$c_{1}^{2}+(c_{1}-L/2)^{4}/c_{1}^{2}-2(c_{1}-L/2)^{2}\cos 2L=H.$$
(1.24)

Постоянная интегрирования c_1 определяется из последнего выражения системы (1.24) численным методом или из приближенного выражения при учете отношения (1.16):

$$c_1 - (c_1 - L/2)^2 \cos(2L)/c_1 = H.$$
 (1.25)

Выражение (1.25) получено из (1.19), определяющего равенство амплитуды относительного смещения и амплитуды относительного возмущения на конце стержня, при x=0. При этом берется значение $c_1 > 0$. Сравним полученное решение для амплитуды относительного смещения R(y) с результатом численного интегрирования первого уравнения системы (1.9). На фиг. 1 представлены зависимости R(y) в безразмерной форме. Сравнение выполнено при одинаковых граничных условиях и постоянном по длине давлении для нескольких значений амплитуд возмущающих воздействий на конце стержня при условии, что вибрации распространяются по всей длине рассматриваемого стержня. Сплошными линиями показаны результаты численного интегрирования, штриховыми – приближенного решения. Из представленной графической зависимости видно, что расхождение невелико.



2. Определим параметры системы и внешнего воздействия, обеспечивающие распространение относительных вибраций на всю длину *l* рассматриваемого стержня. Для этого рассмотрим полубесконечный стержень с кинематическим граничным условием

$$\eta(0,t) = (H_1 - H_2) \exp(i\omega t)$$
. (x=0) (2.1)

Решение для относительных смещений будем искать также в виде (1.2). В рассматриваемом случае удается найти решение [4], содержащее две постоянные интегрирования c_1 , c_2 и удовлетворяющее убыванию амплитуды с ростом x. Для комплексной амплитуды относительных смещений решение уравнения (1.9), тождественно удовлетворяющее ему, имеет вид:

$$Z = (c_1 - y/2) \exp(-i(y + c_2)).$$
 (2.2)

Тогда для относительных смещений в действительной форме запишем

$$\eta(x,t) = K(c_1 - y/2)\cos(\omega t - y - c_2).$$
 (2.3)

Удовлетворяя граничному условию (2.1), постоянные интегрирования примут значения $c_1 = (H_1 - H_2)/K$, $c_2 = 0$, а зона распространения относительных вибраций определится из условия положительности амплитуды

$$x_* = 1/2(H_1 - H_2)c\omega\pi\rho Q_1Q_2q^{-1}(Q_1 + Q_2)^{-1}$$
. (2.4)

Следовательно, решение (2.3) справедливо для значений $0 < x \le x_*$. При $x > x_*$ следует принять $\eta(x,t) = 0$, то есть сечения Q_1 и Q_2 будут совершать вибрации совместно без относительных смещений слоев. Заметим, что если $q \to 0$, координата $x_* \to \infty$, что соответствует отсутствию демпфирования. При больших значениях q вибрации локализируются около возмущенного конца стержня. Как следует из (2.4), величина x_* зависит от частоты воздействия ω . Поэтому для распространения вибраций на длину стержня t необходимо значение частоты, равной не менее $\omega = \omega_*$.

82 А. В. Койбин

$$\omega_* = 2q(Q_1 + Q_2)l/(H_1 - H_2)c\pi\rho Q_1Q_2.$$
 (2.5)

Следовательно, если проследить за вибрациями в составном стержне длиной l при изменении частоты от нуля до частоты $\omega > \omega_*$, то сначала необходимо воспользоваться решением (2.3), а при достижении частоты до $\omega = \omega_*$ – решением для системы (1.12). Далее отметим, что если в исходной системе заменить $u_2 = 0$, а $\eta(x,t) = u_1(x,t)$, то автоматически получим решение задачи о распространении вибраций в стержне конечной длины, прижатом к неподвижной шероховатой поверхности [1].

3. Рассмотрим необратимые потери в составном стержне при вибрациях составного стержня. Эти потери могут быть определены как работа сил трения на относительном смещении слоев по длине стержня за период возмущающего воздействия:

$$W = \int_{0}^{x} \int_{0}^{2\pi/\omega} F_{Tp} \frac{\partial \eta}{\partial t} dt dx.$$
 (3.1)

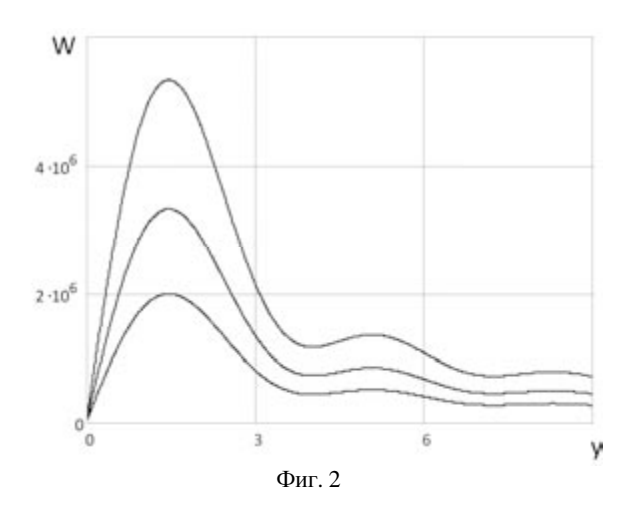
Силу трения возьмем с учетом ее линеаризации в виде

$$F_{Tp} = -q sign \ \dot{\eta} = \frac{4q \ \dot{\eta}}{\pi KR \omega}. \tag{3.2}$$

Вычисление потерь по формуле (3.1) дает выражение

$$W = 4qK \int_{0}^{x} R(y)dx = \frac{4qK}{\alpha}S(y). \tag{3.3}$$

Здесь S(y) — площадь под графиком для амплитуды относительных смещений, ограниченной координатой $y = \alpha x$, при фиксированном значении x, равном значению длины L рассматриваемого стержня. На фиг. 2 представлено несколько зависимостей потерь на трение от координаты $y = \omega L/c$ для различных значений величины силы трения q. Зависимости показывают, что потери существенно зависят от величины трения и частоты внешнего воздействия ω .



СПИСОК ЛИТЕРАТУРЫ

- 1. Койбин А. В. Распространение вибраций в коротком упругом стержне при наличии сухого трения // Изв. АН МТТ. 1986. № 6. С. 170–173.
- 2. М и р о н о в М. В. О распространении в стержнях продольных колебаний с медленно меняющимися параметрами // Изв. АН СССР. МТТ. 1969. № 4. С. 91–96.
- 3. Пальмов В. А. Распространение вибраций в нелинейной диссипативной среде // ПММ. 1967. Т. 31. Вып. 4. С. 749–756.
- 4. Пановко Я. Г. Внутреннее трение при колебаниях упругих систем. М.: Физматгиз, 1960. 193 с.